

FIG. 2

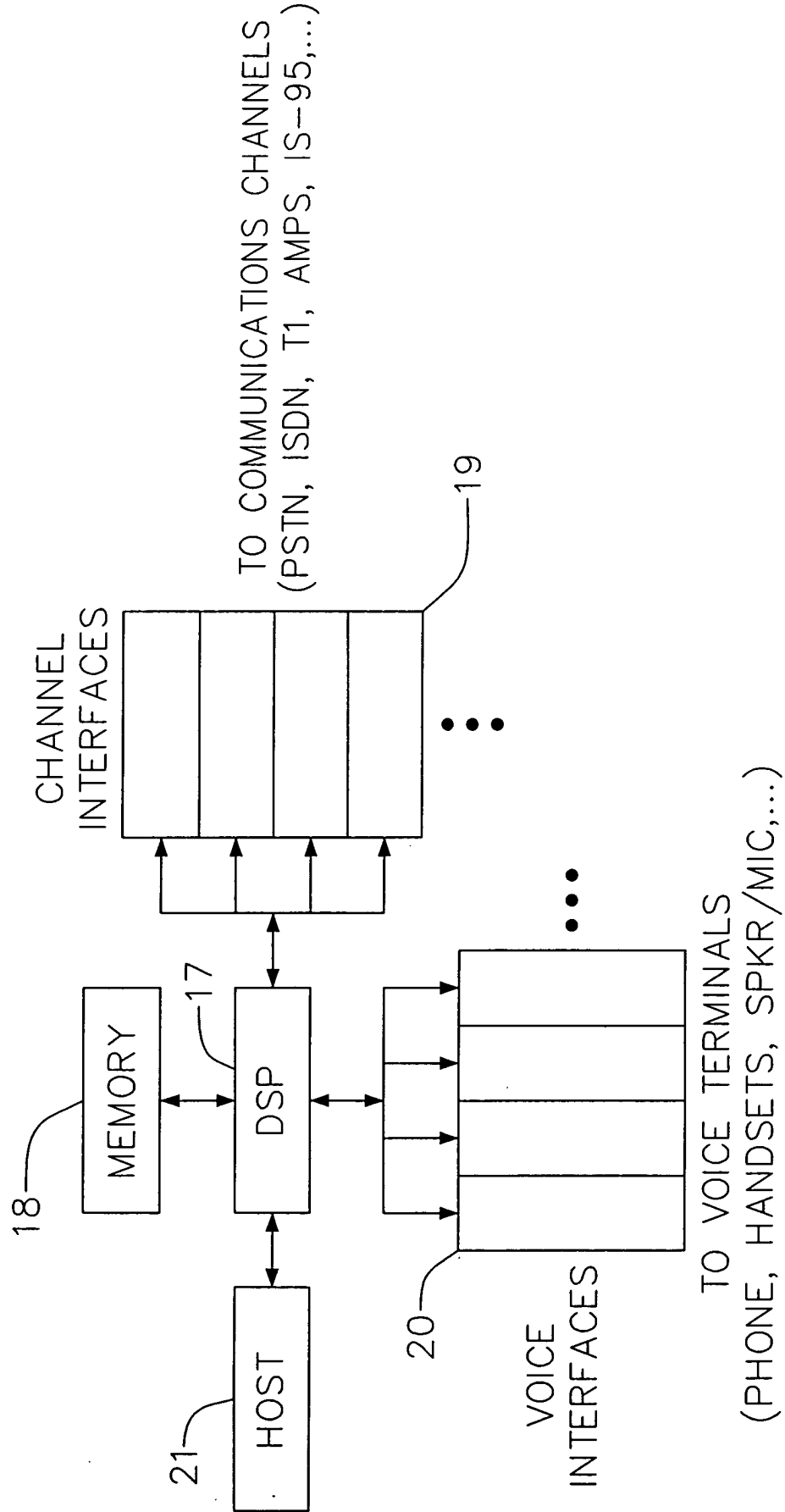


FIG. 3

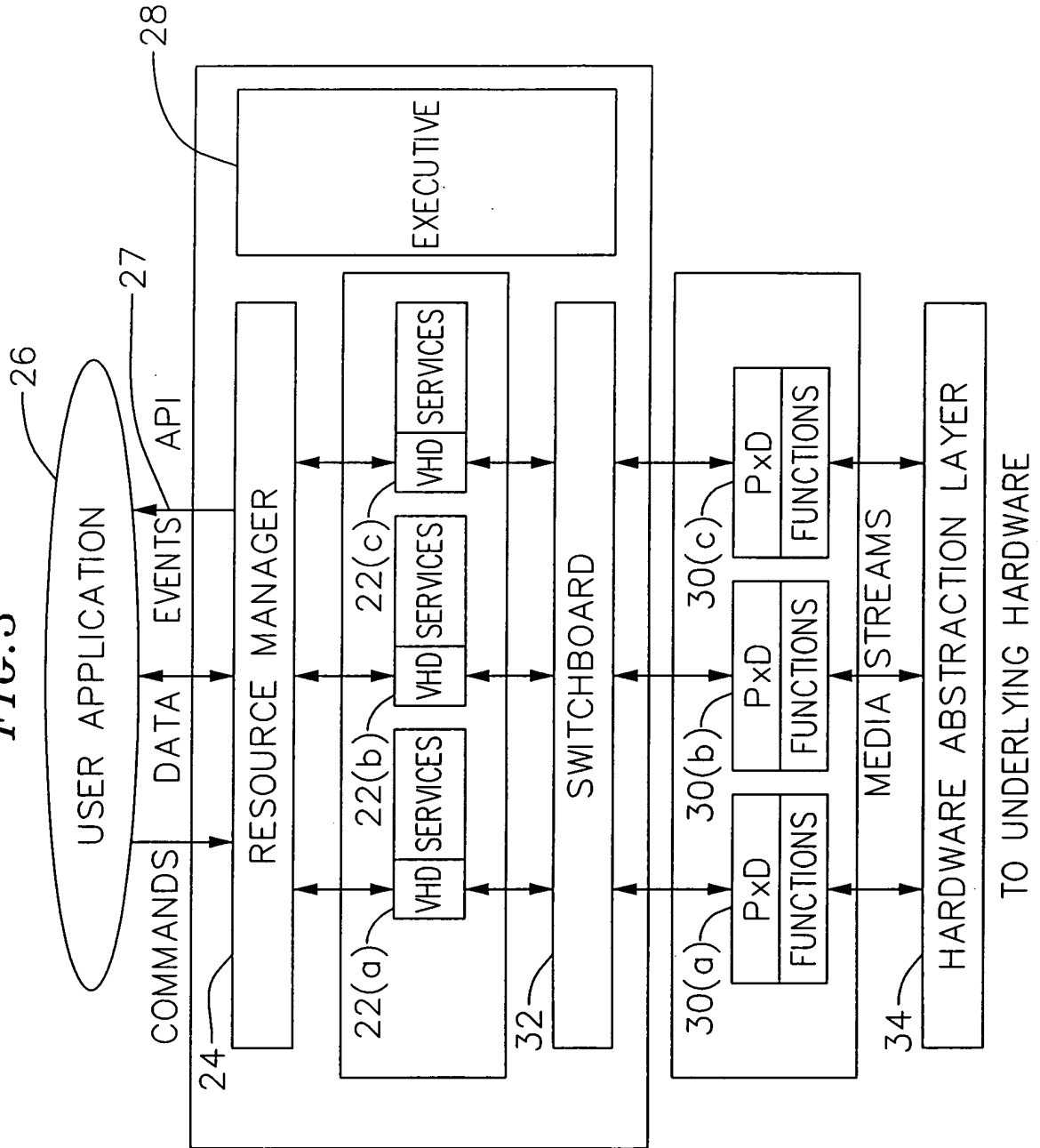


FIG. 4

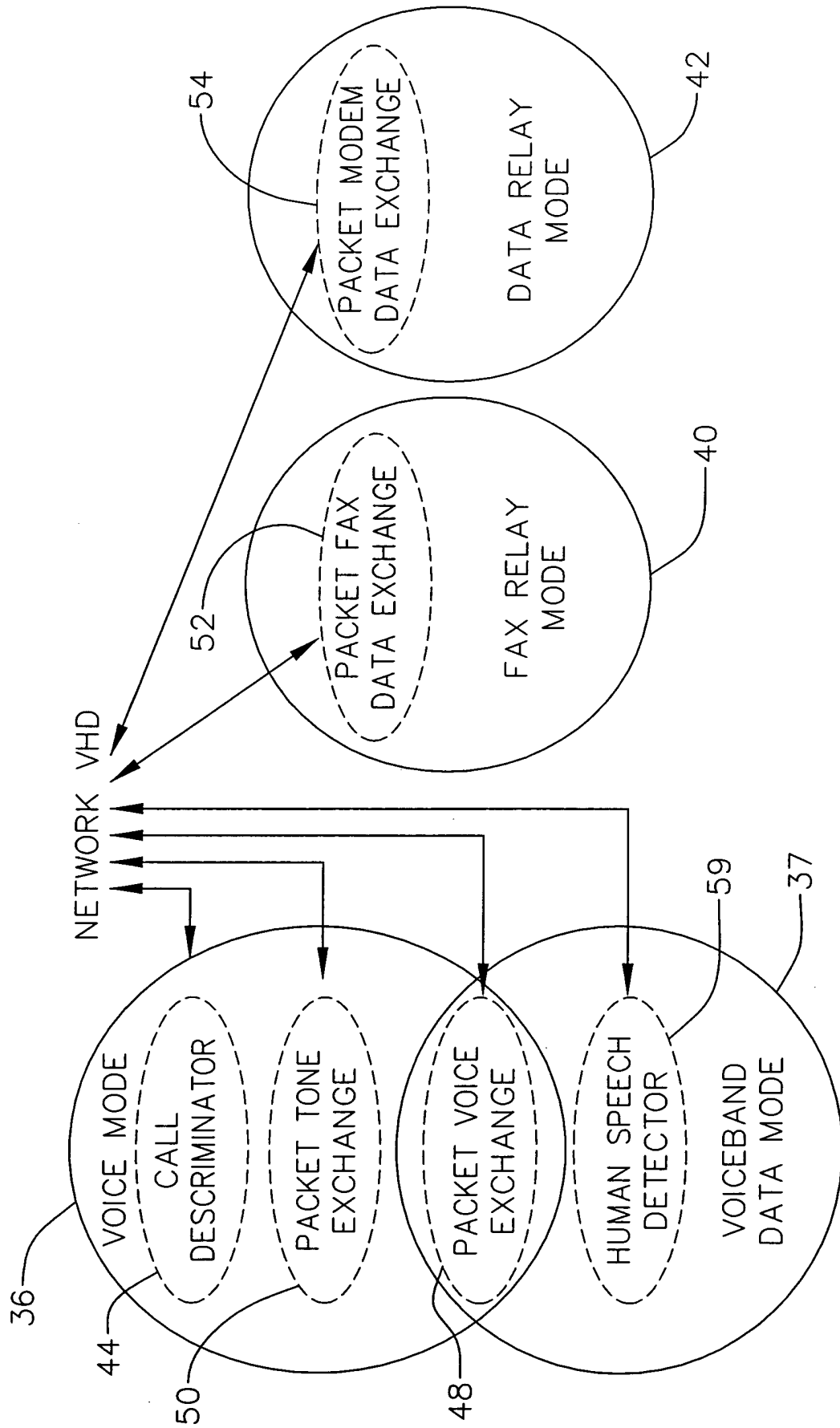


FIG. 5

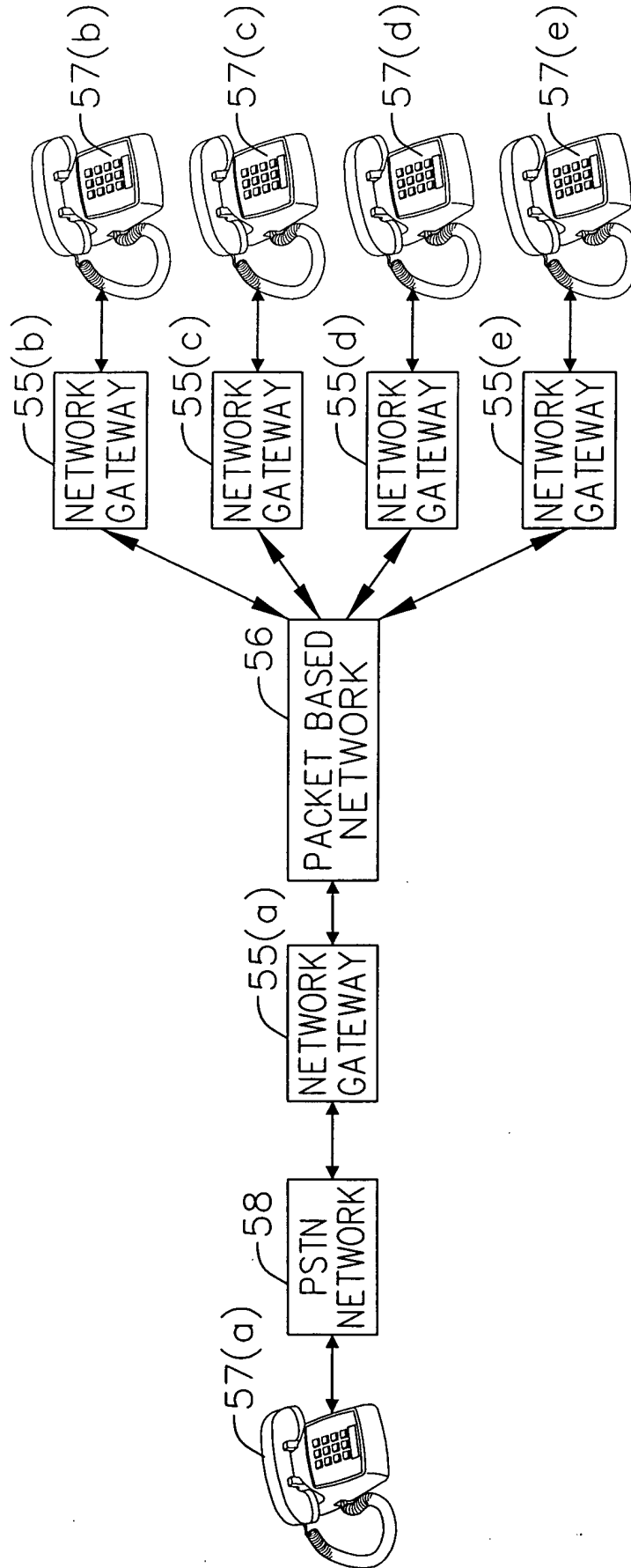




FIG. 7

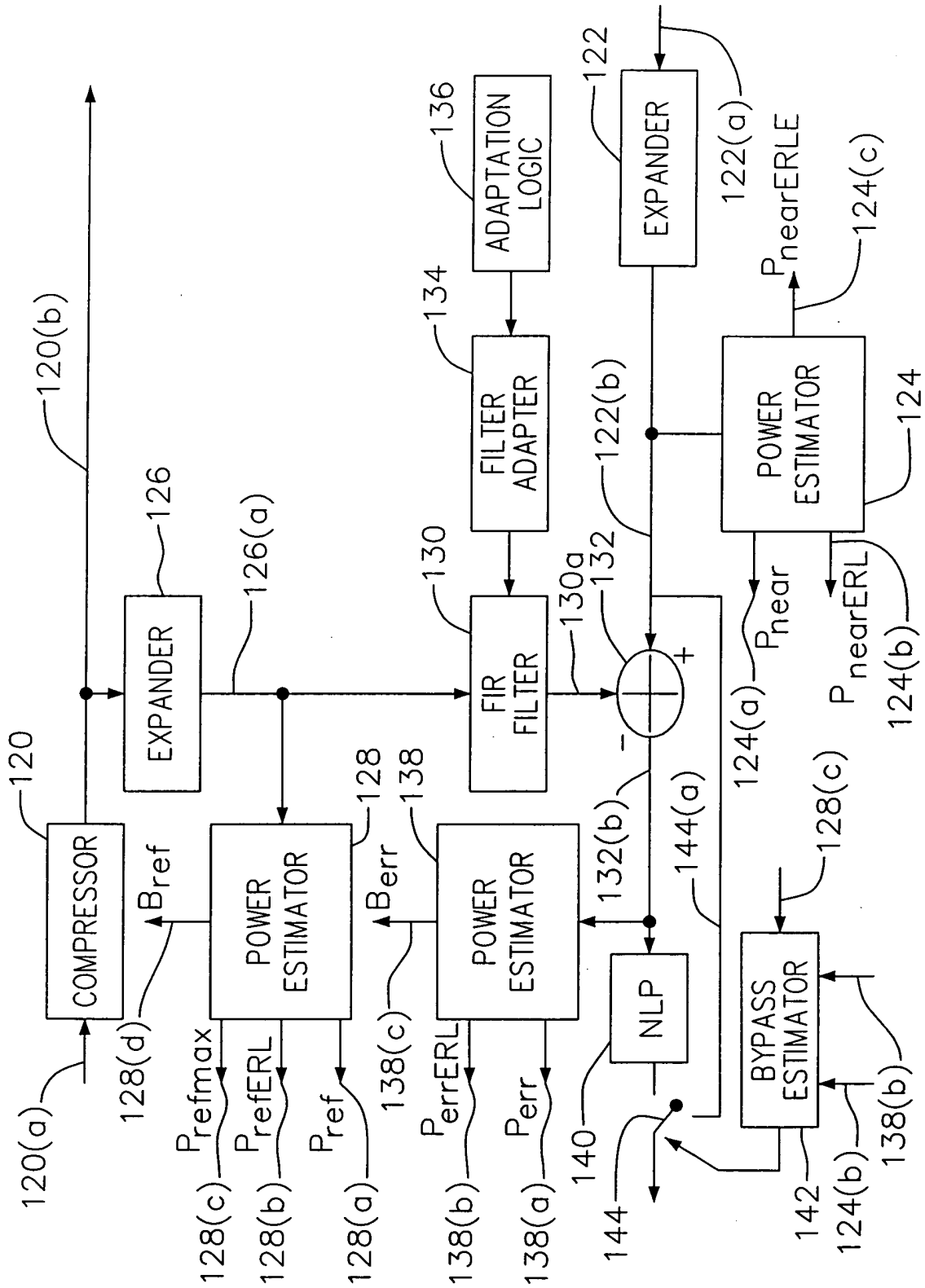


FIG. 8A

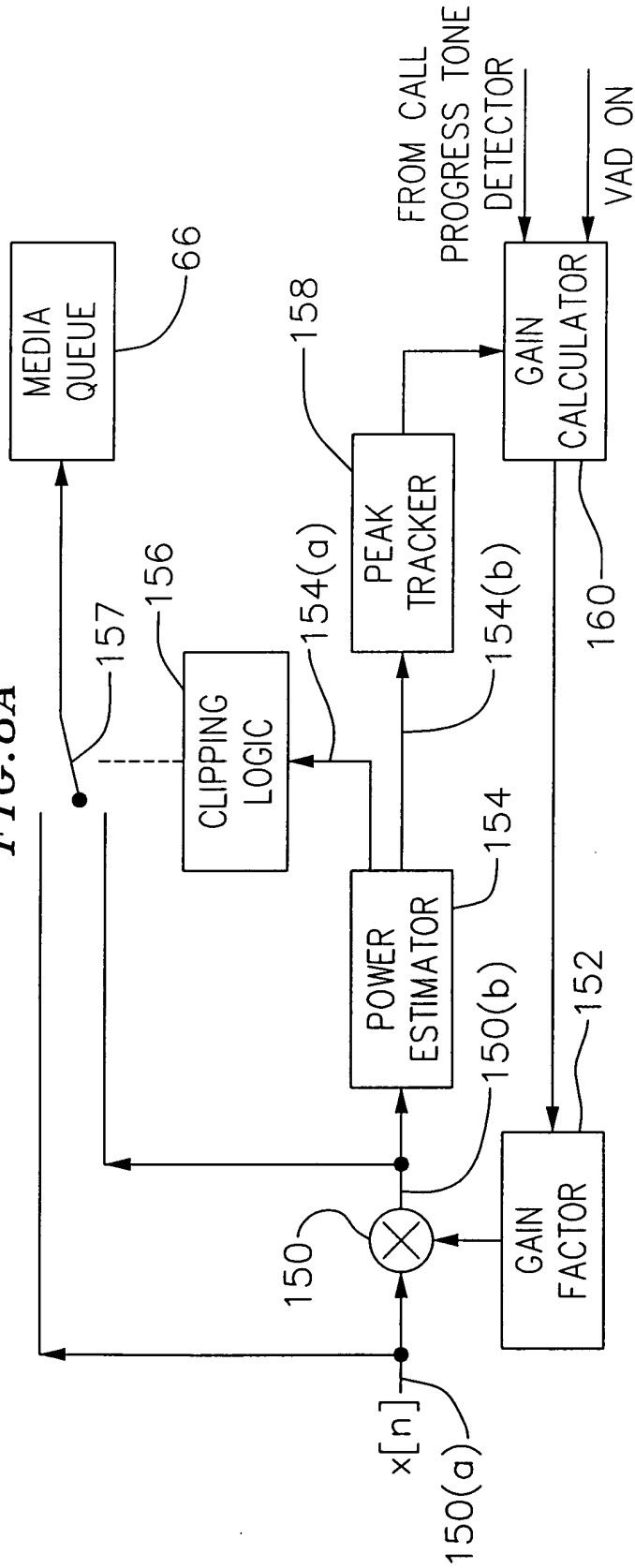


FIG. 8B

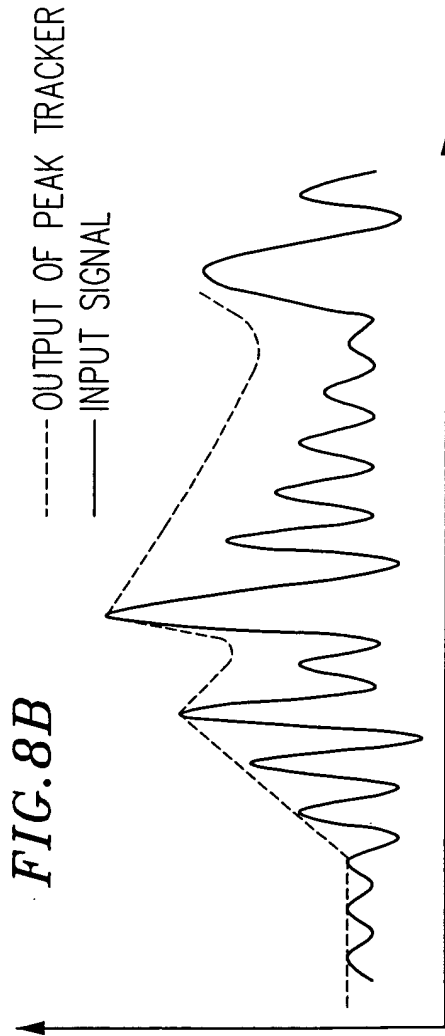
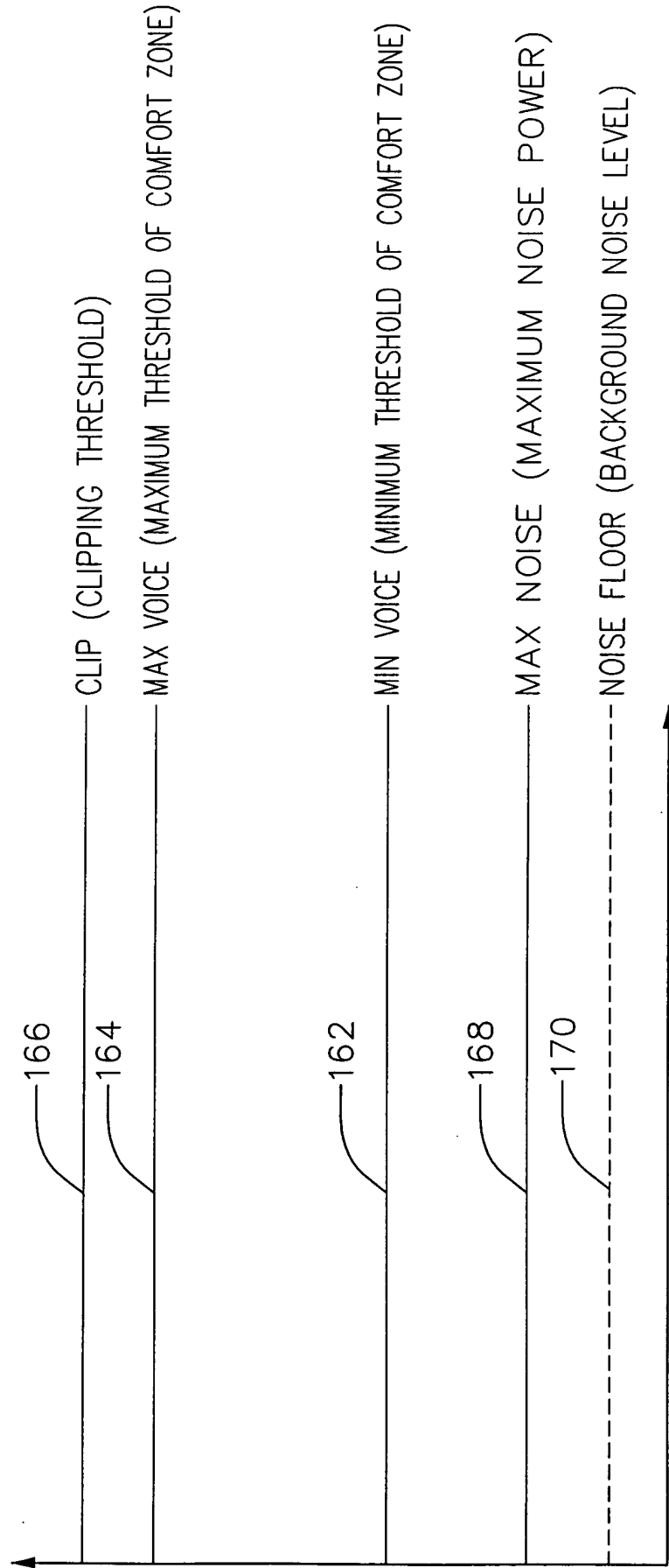




FIG. 9



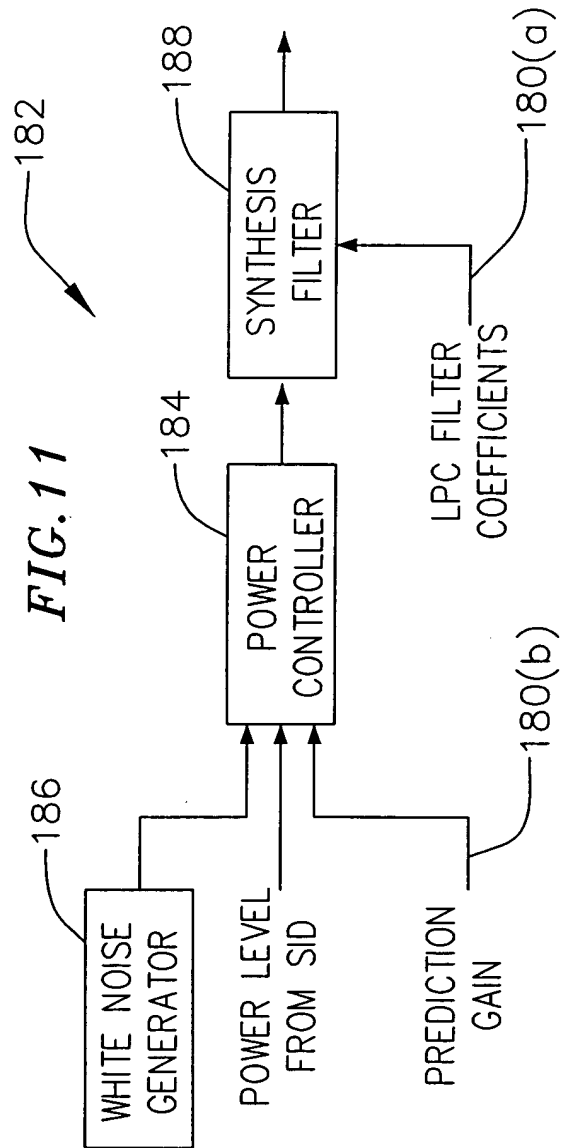
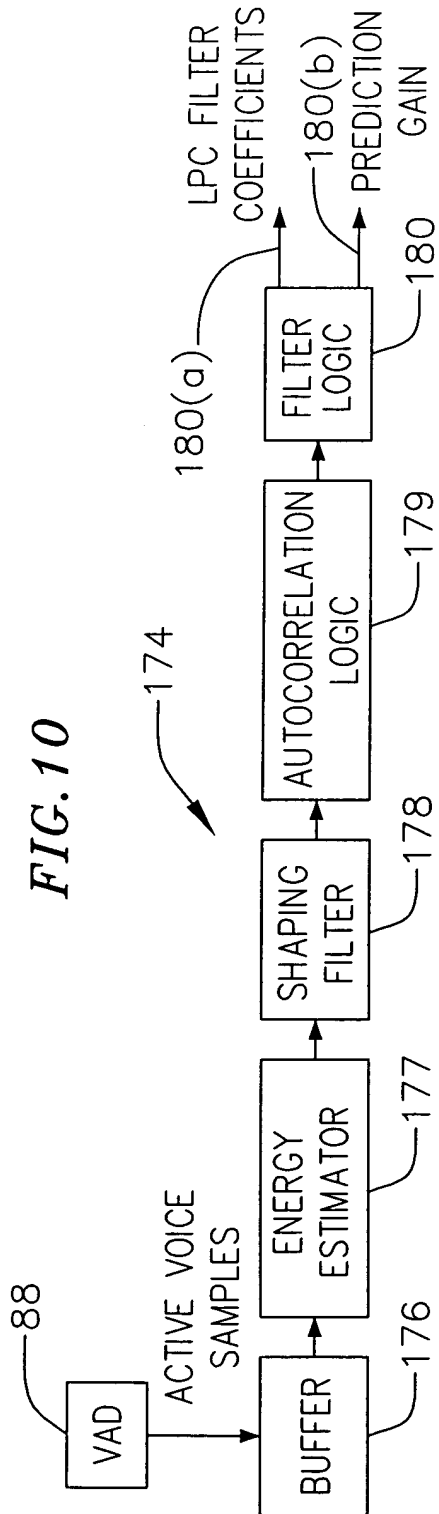


FIG. 12

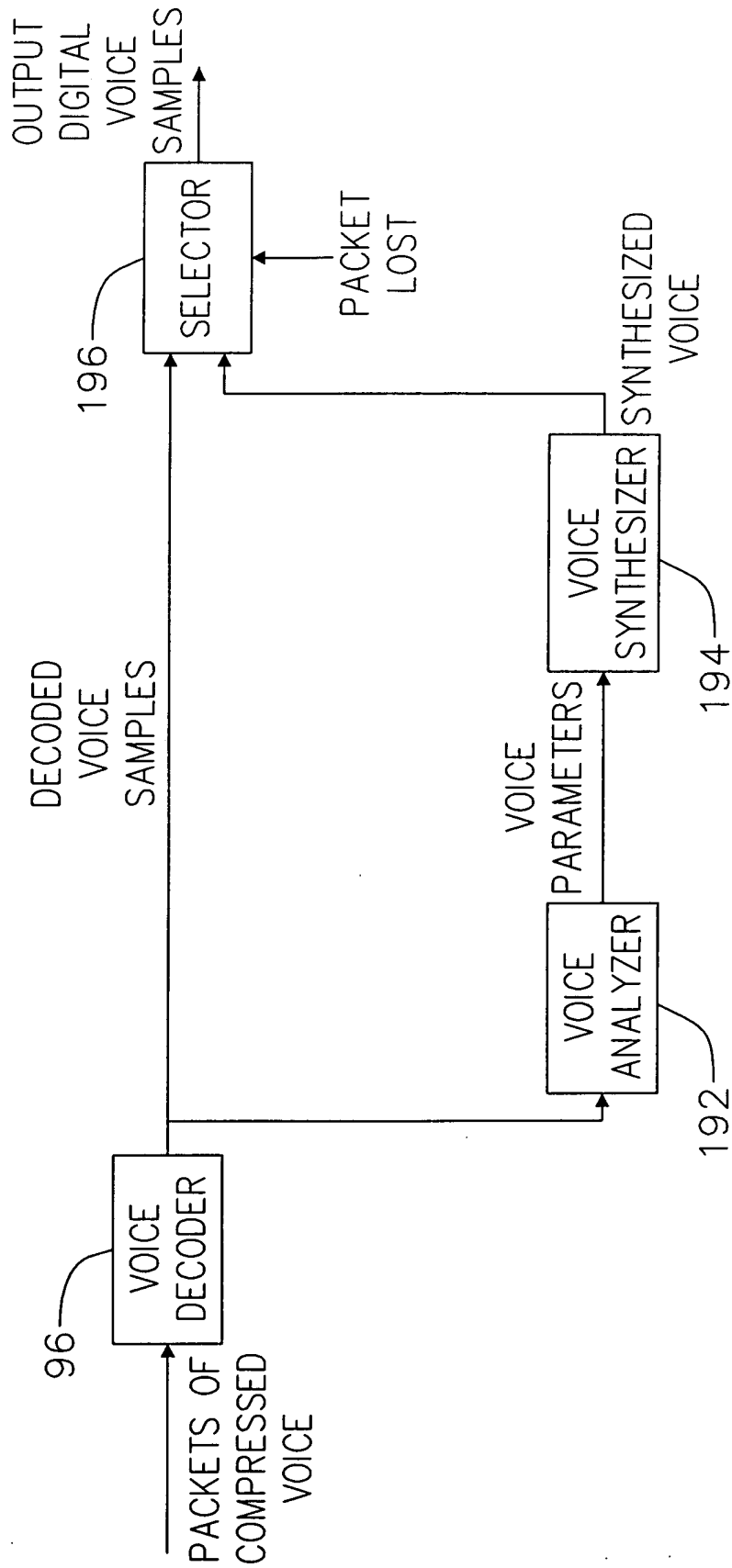
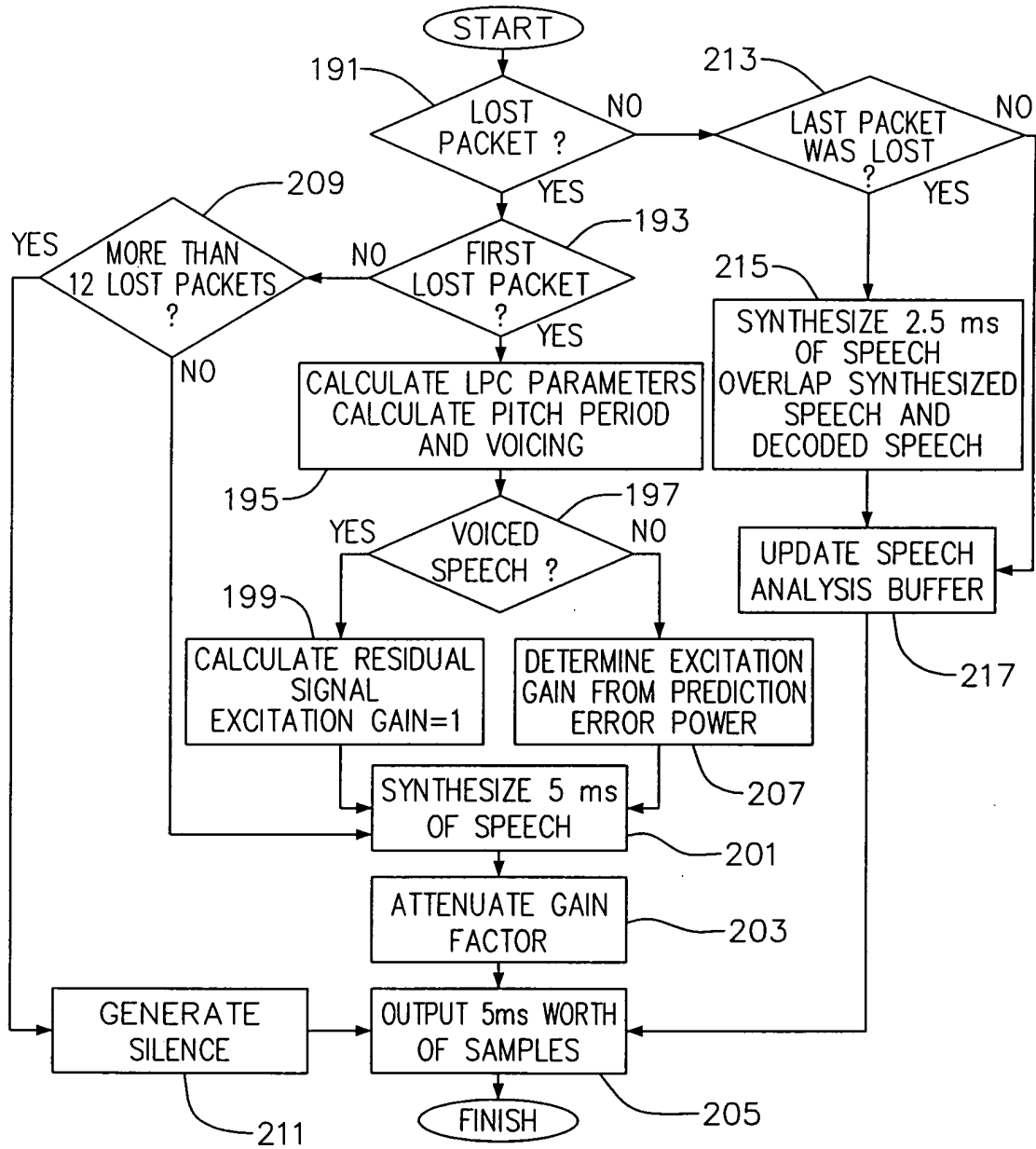
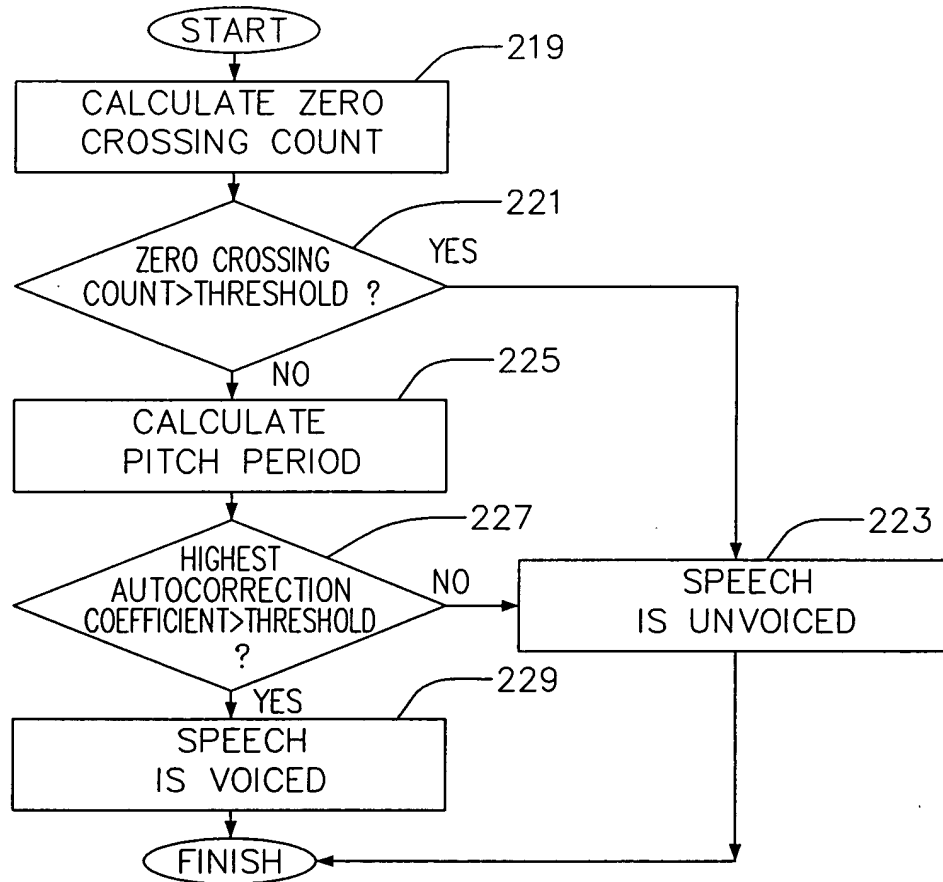


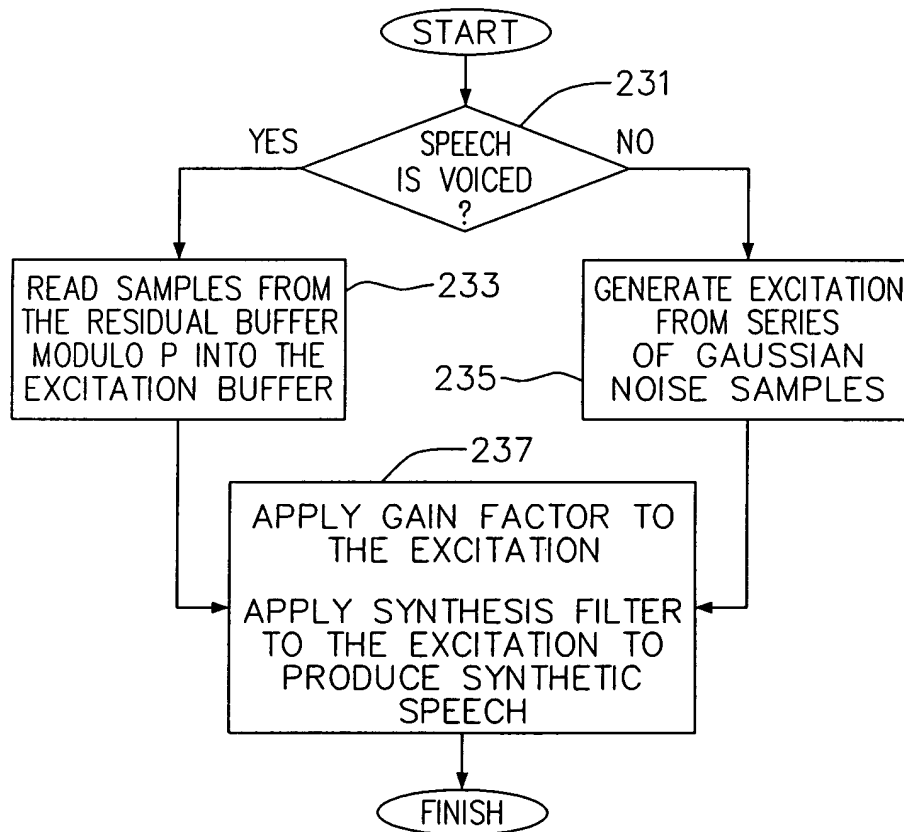
FIG. 13A



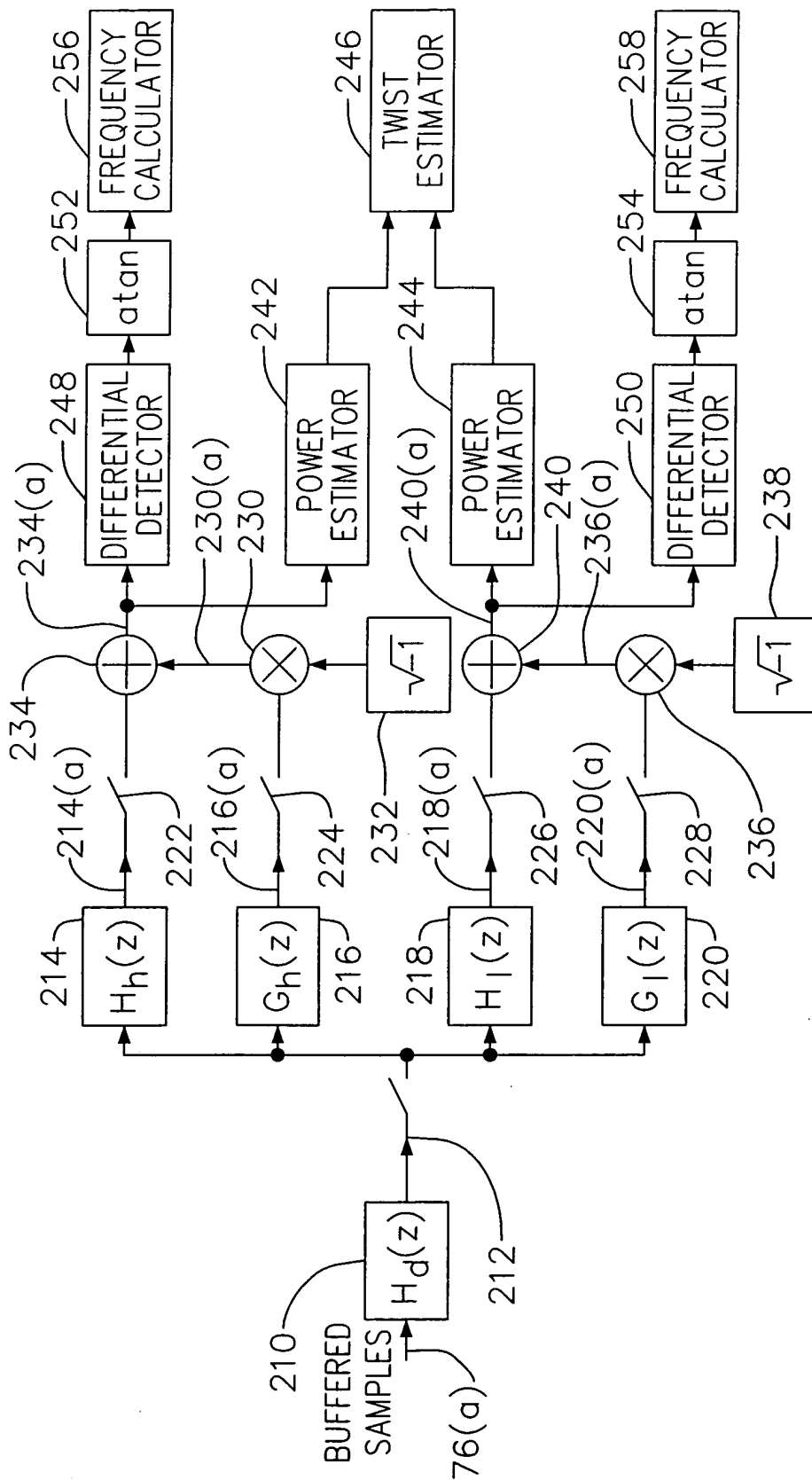
**FIG. 13B**



*FIG. 13C*



**FIG. 14**



*FIG. 14A*

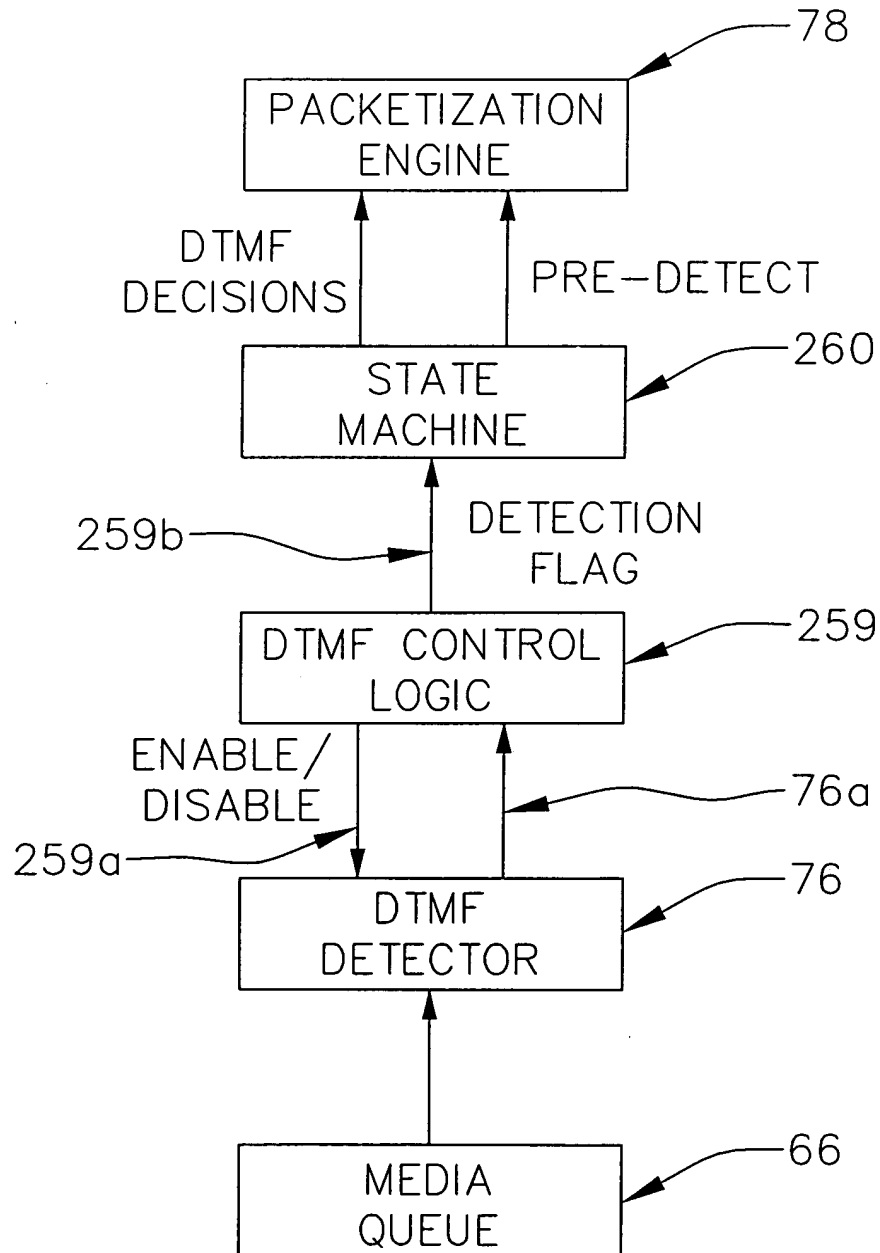
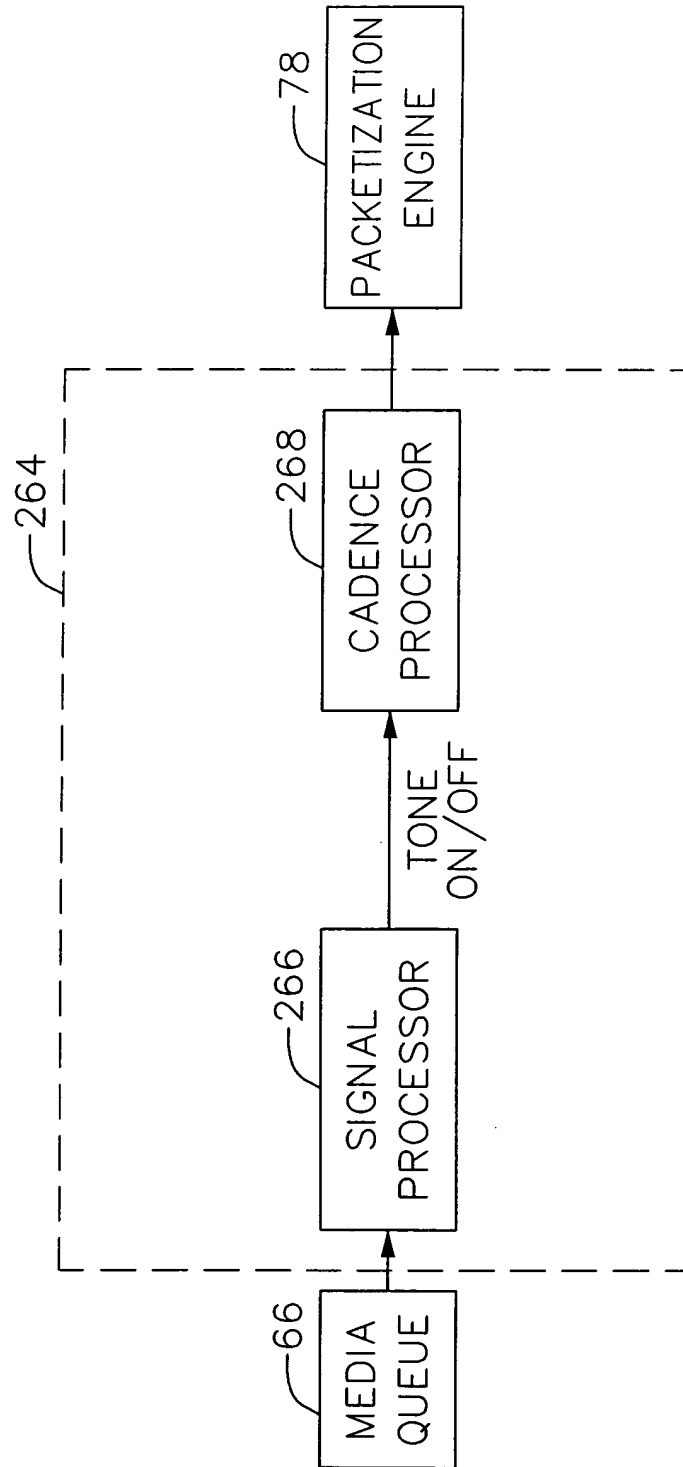
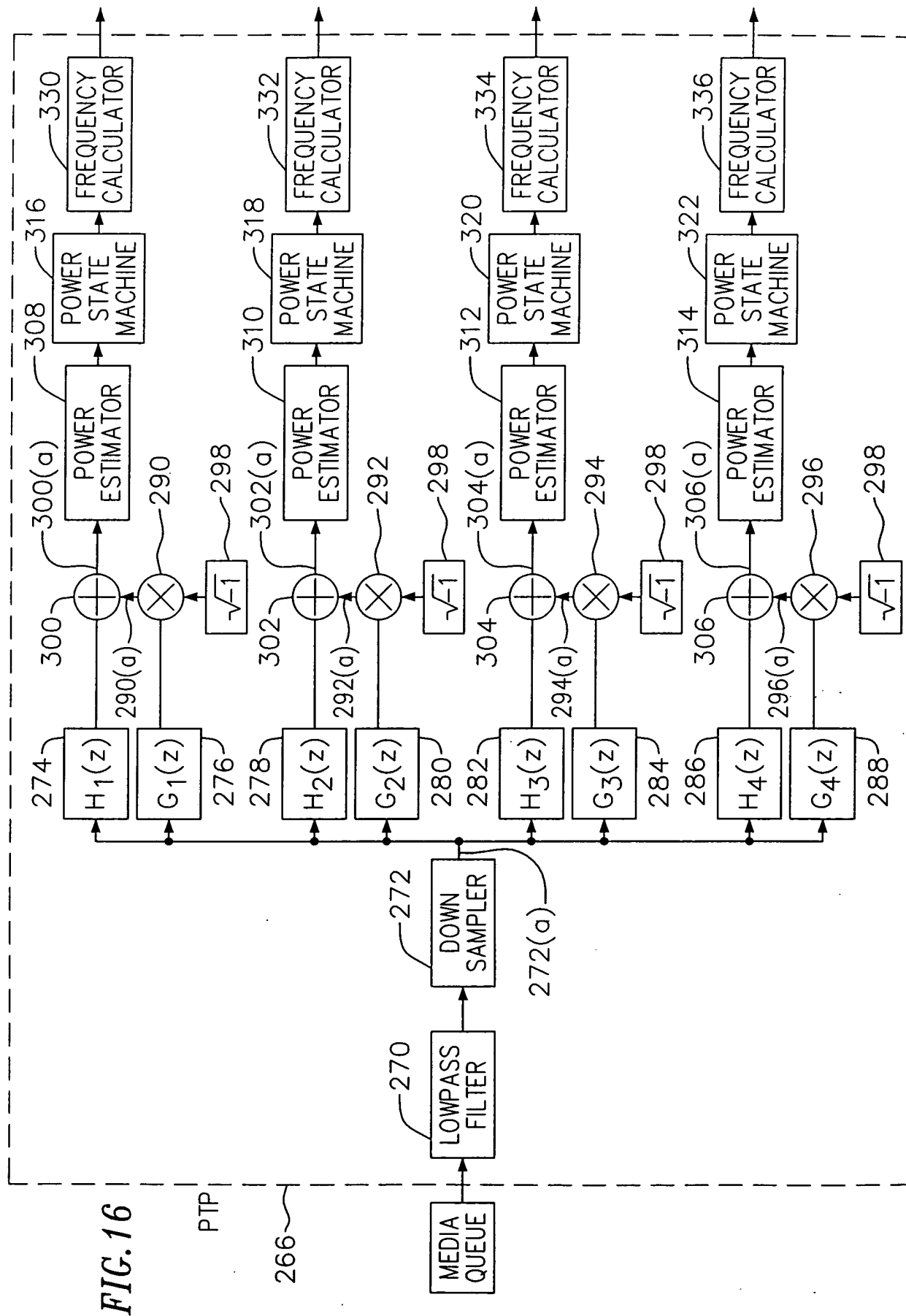


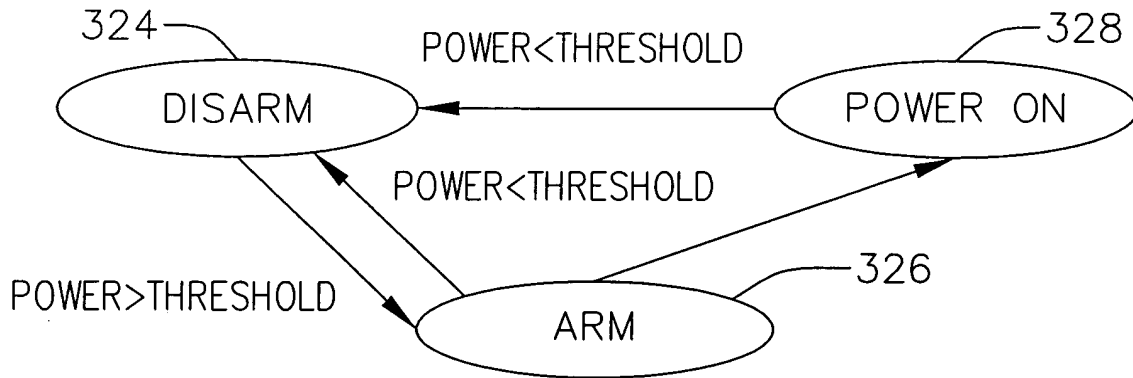


FIG. 15





**FIG. 17**



**FIG. 18**

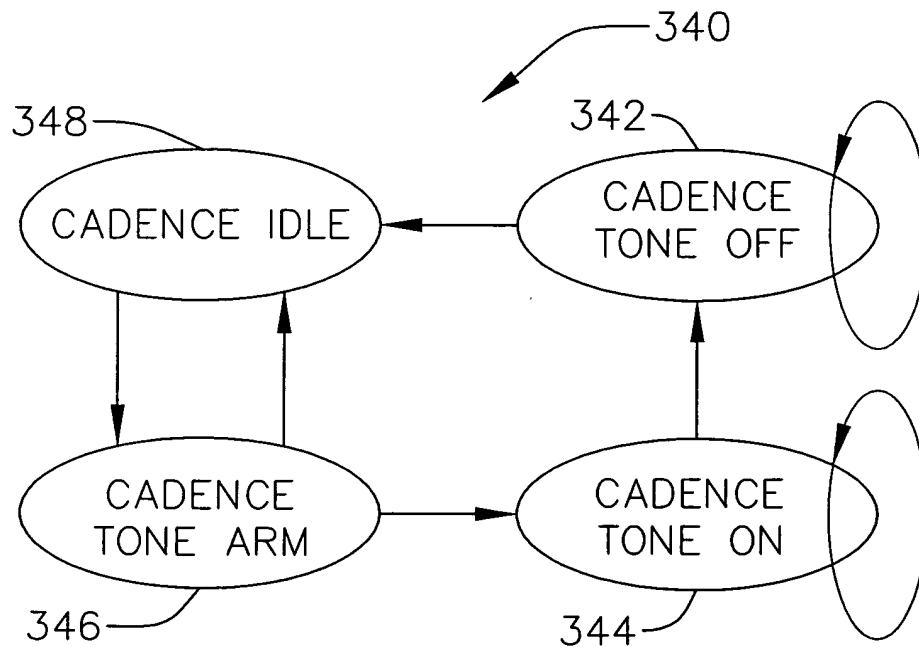


FIG. 18A

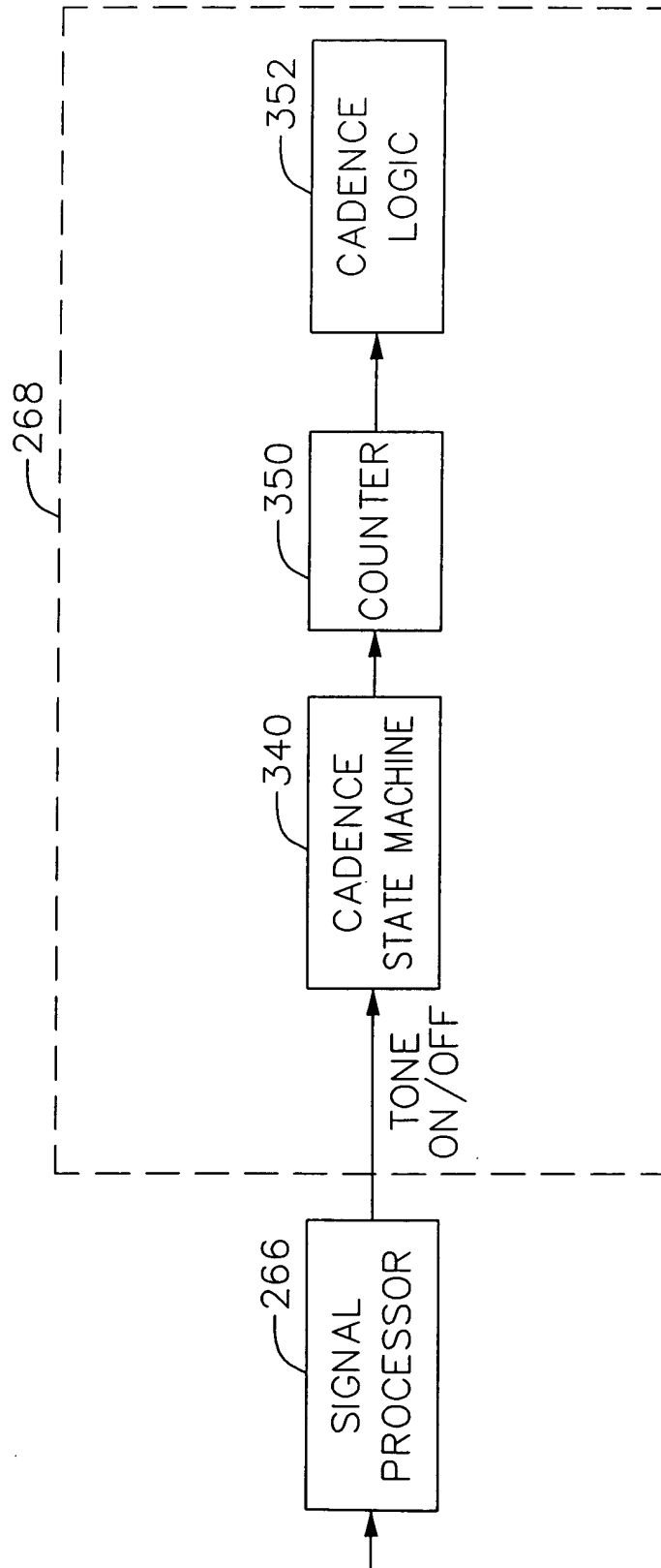


FIG. 19

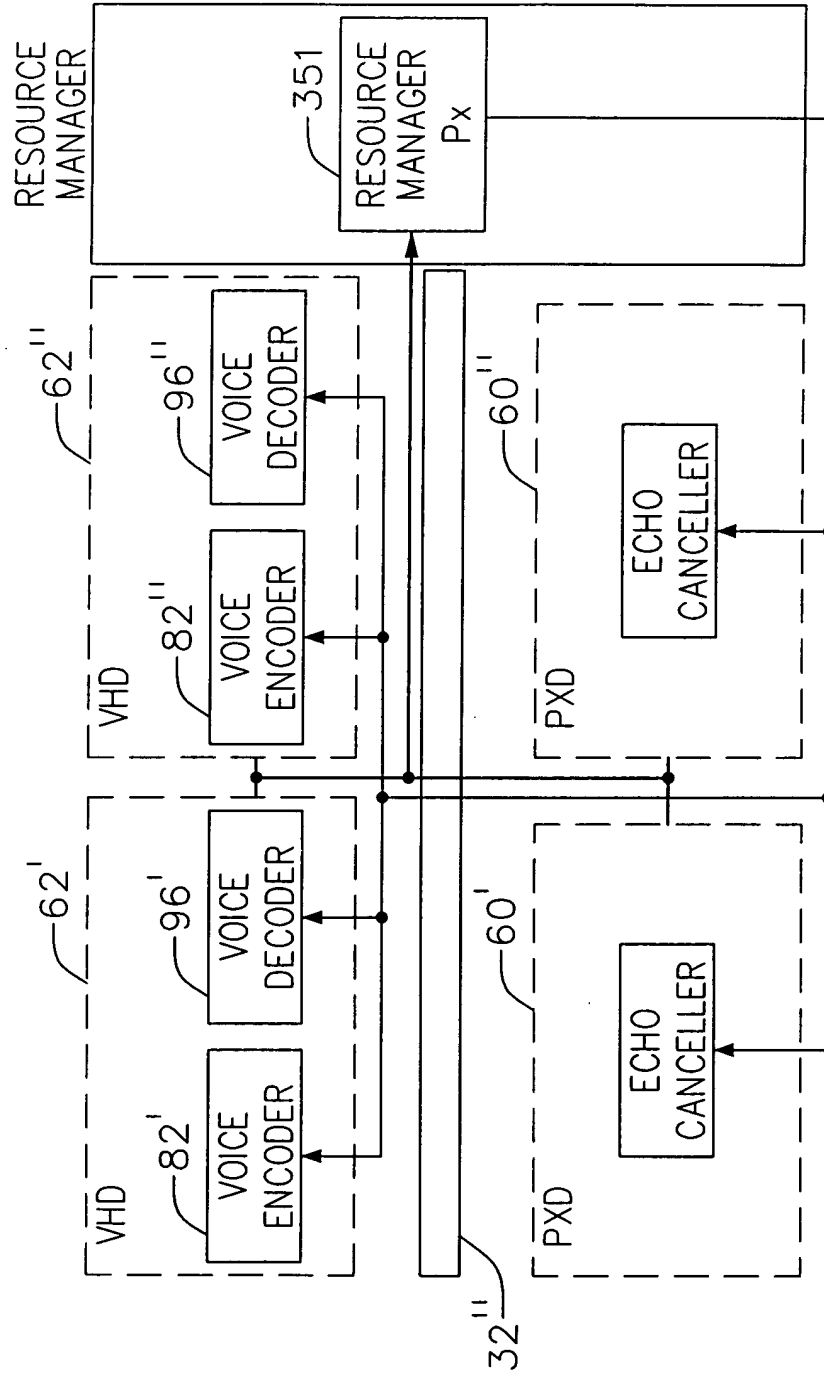


FIG. 20

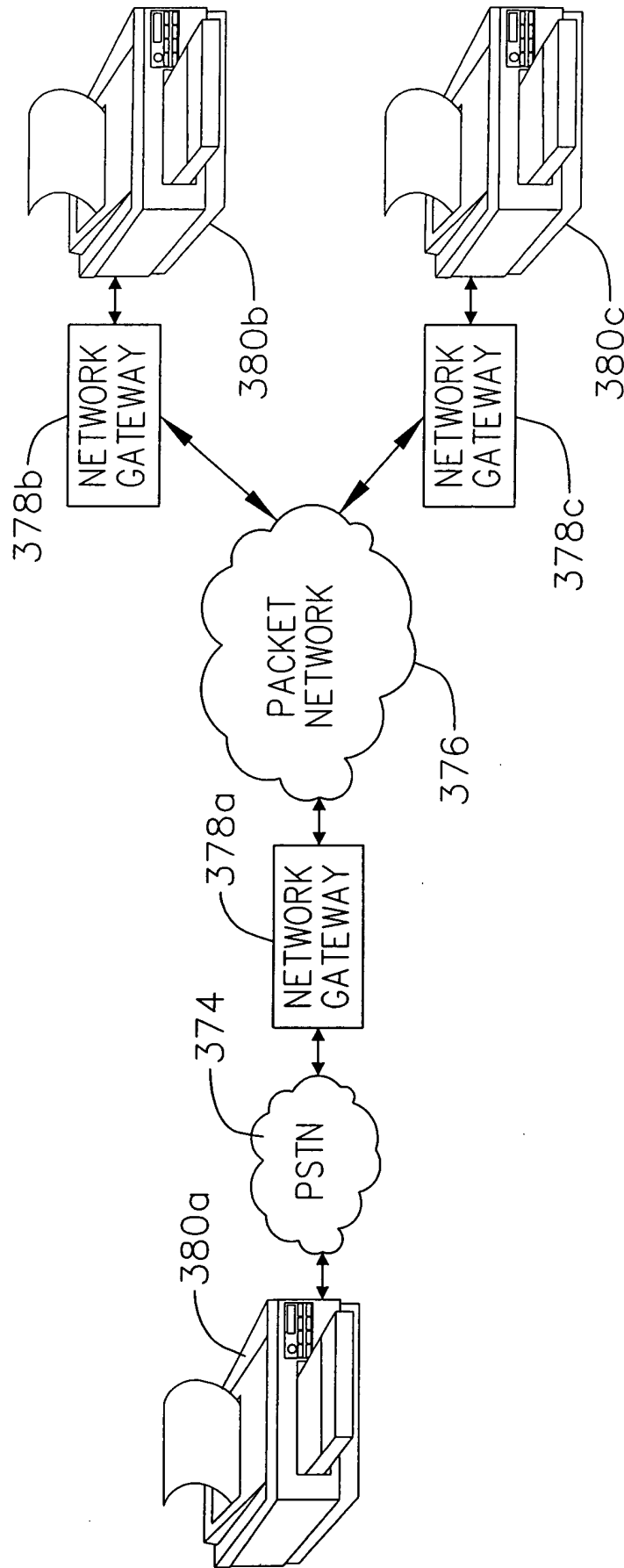
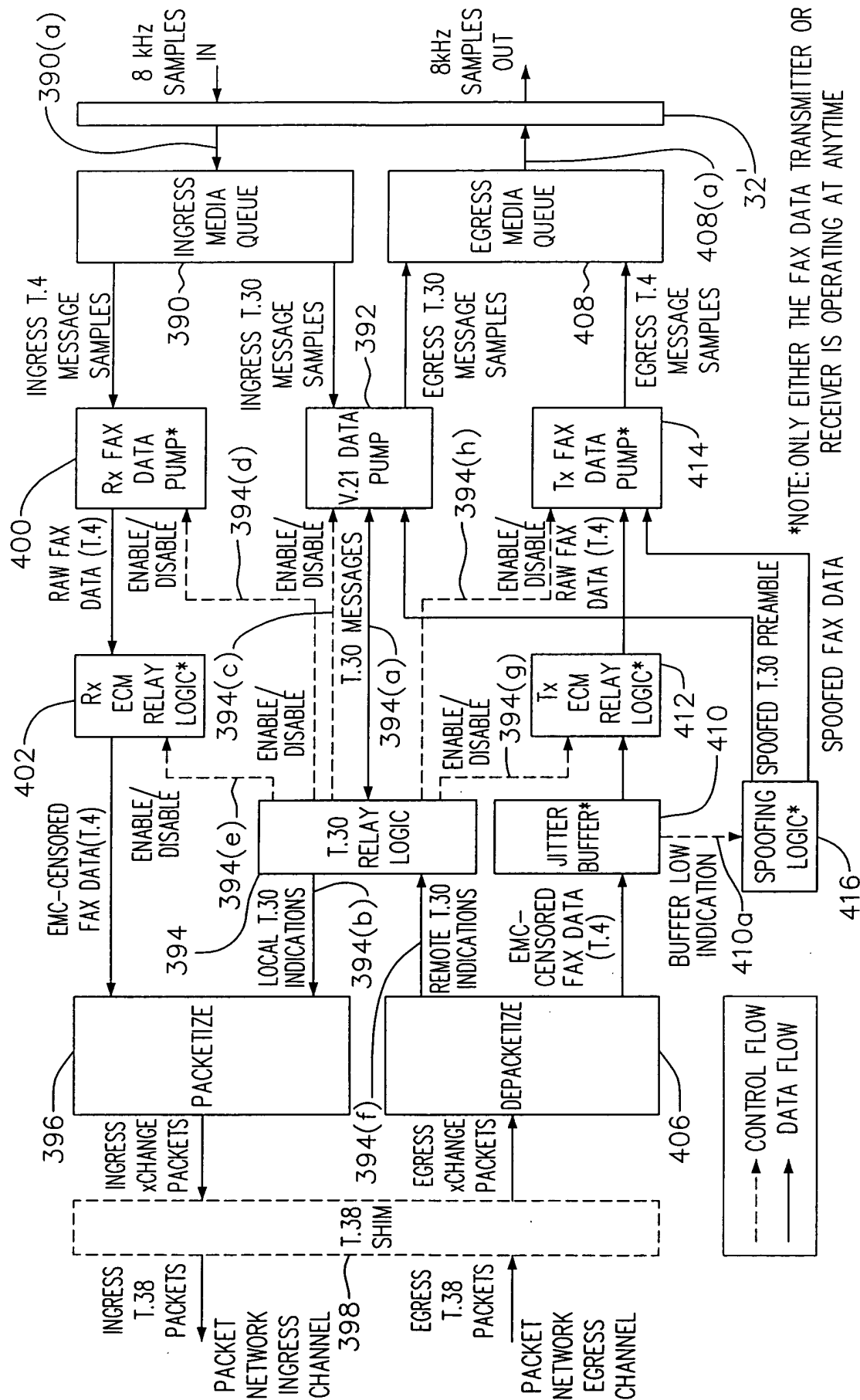
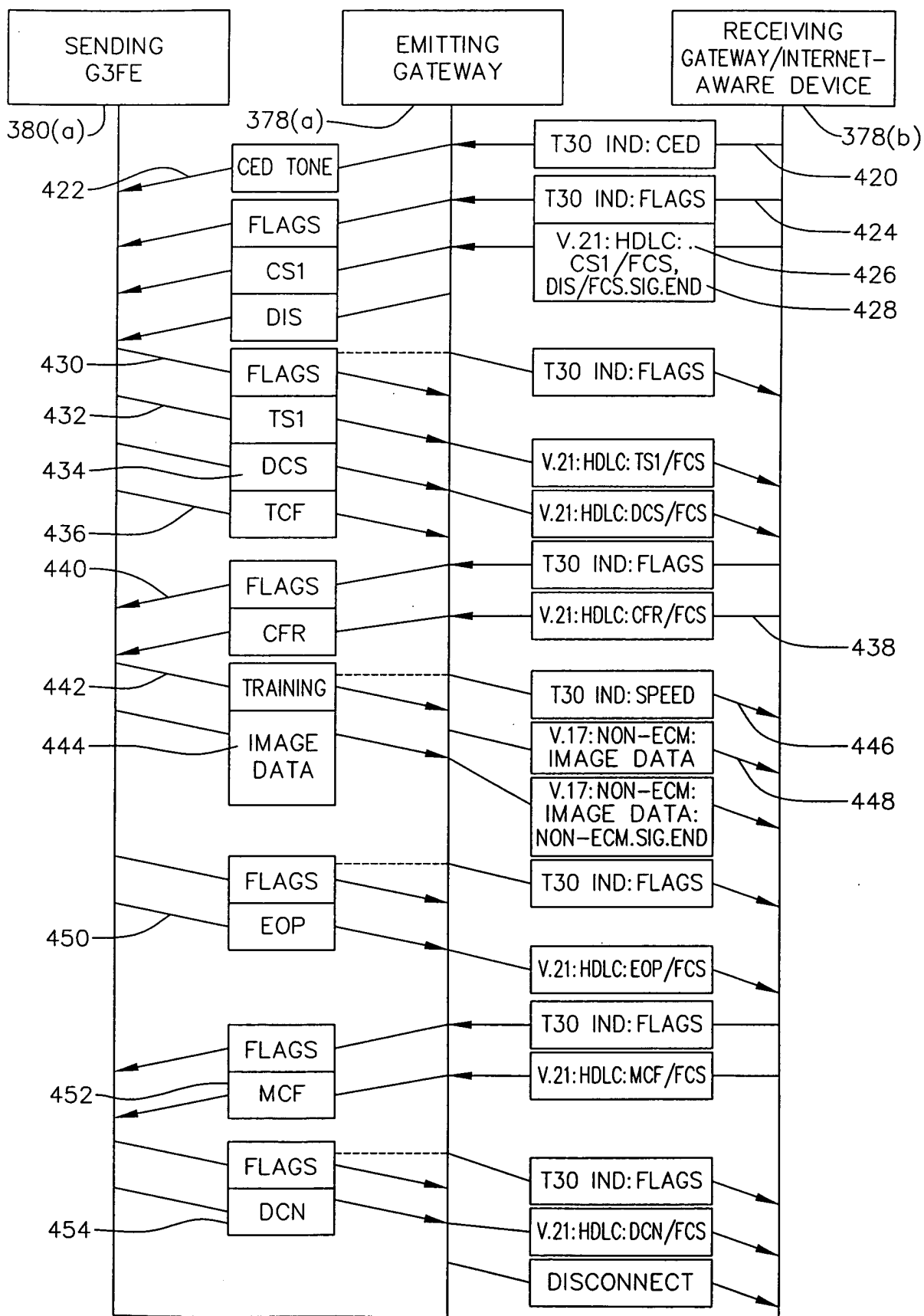


FIG. 21



\*NOTE: ONLY EITHER THE FAX DATA TRANSMITTER OR RECEIVER IS OPERATING AT ANYTIME

FIG.22





*FIG.23*

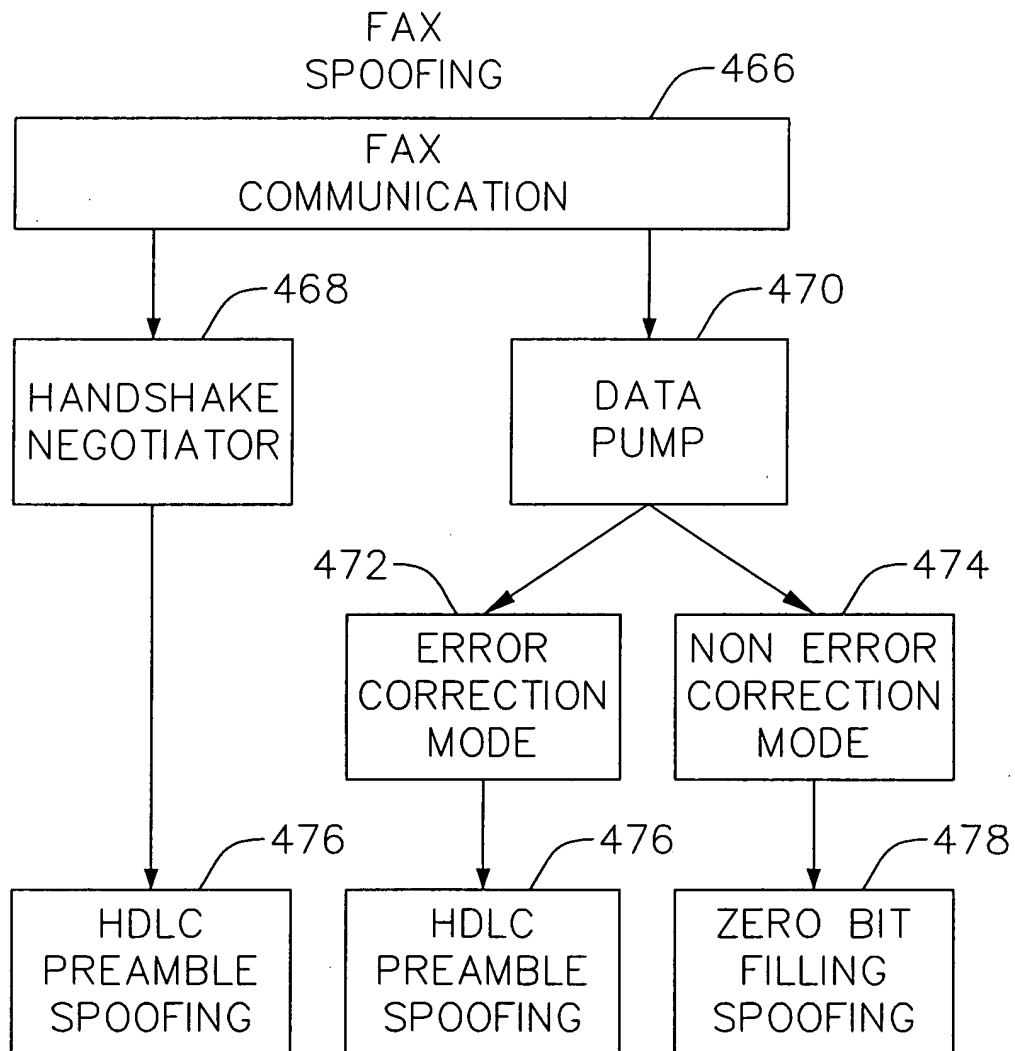


FIG. 24

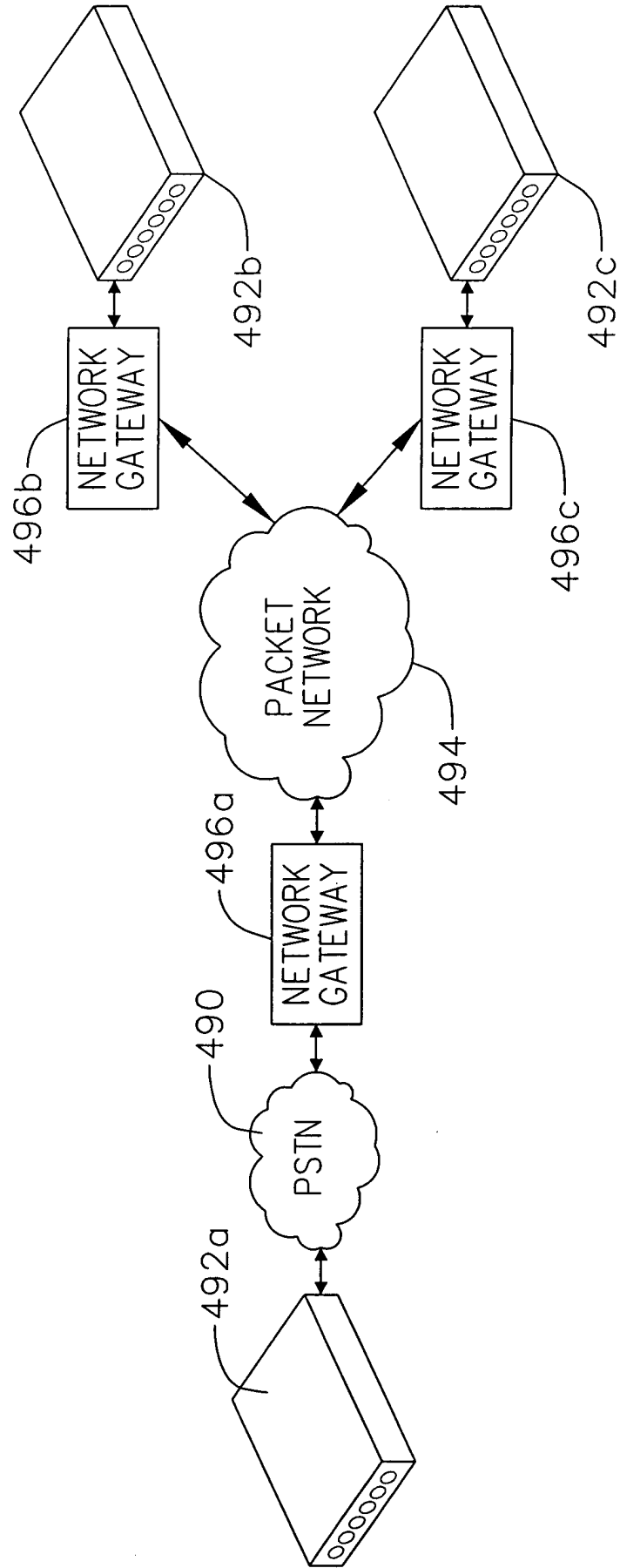
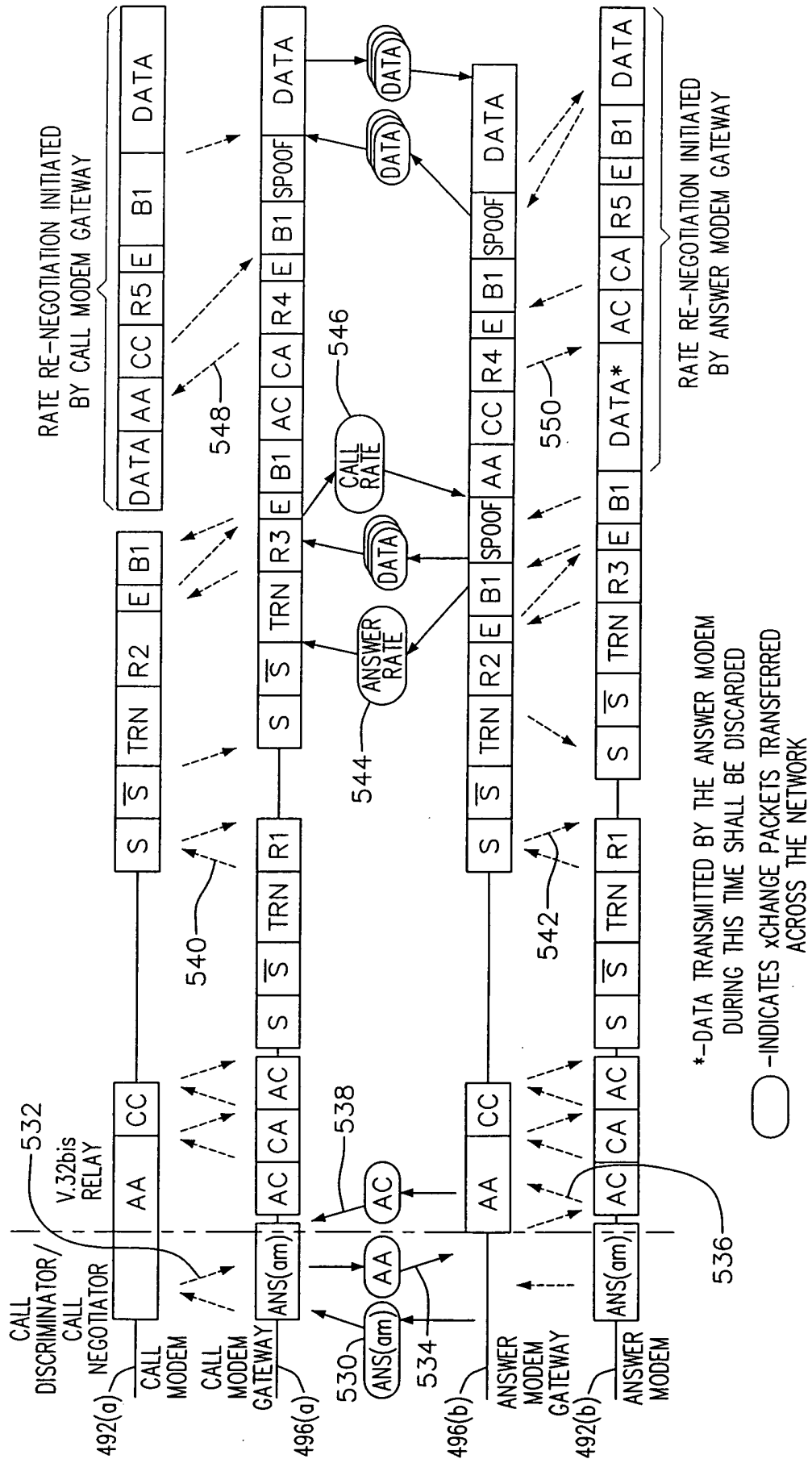




FIG. 26



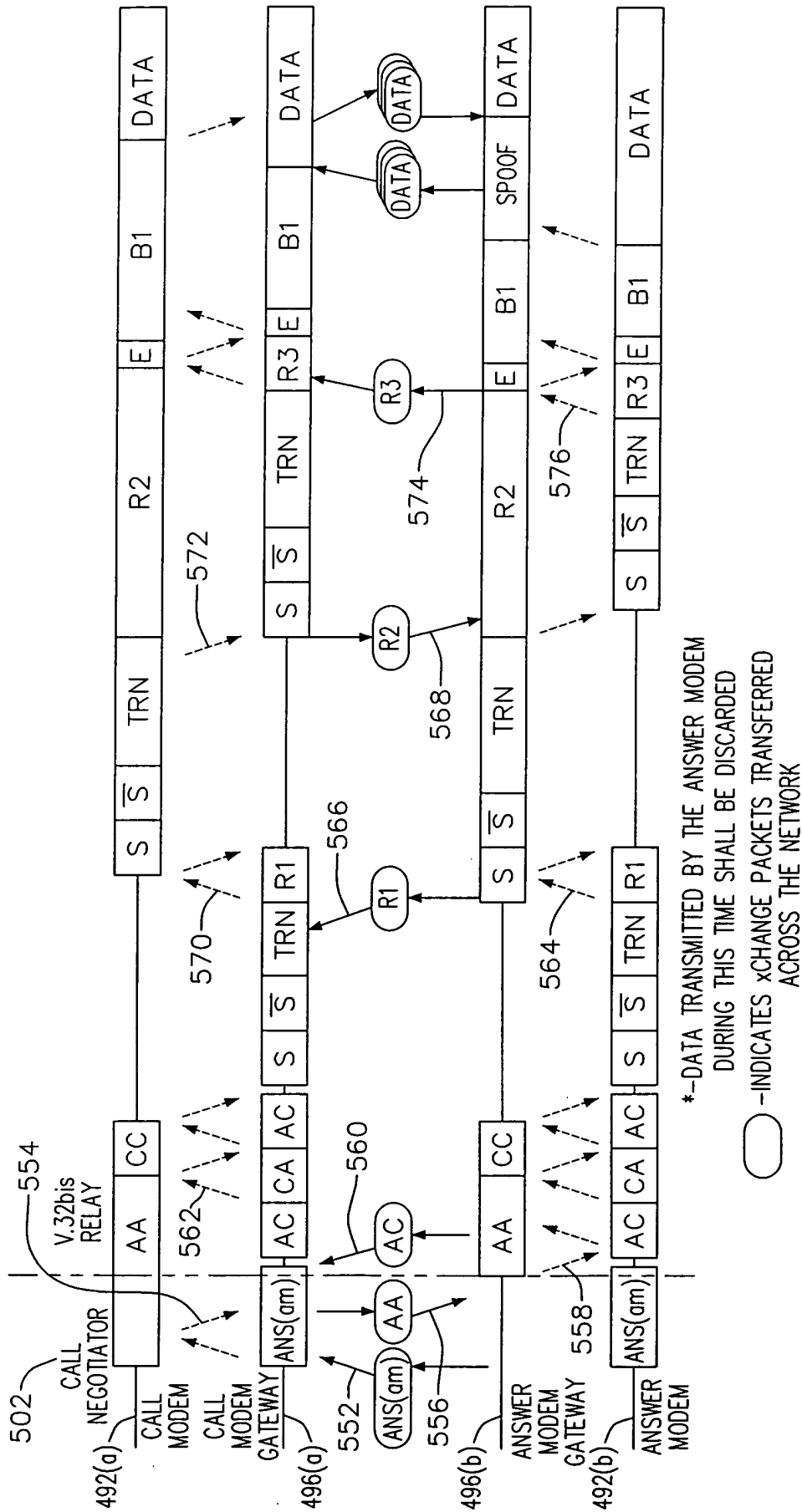
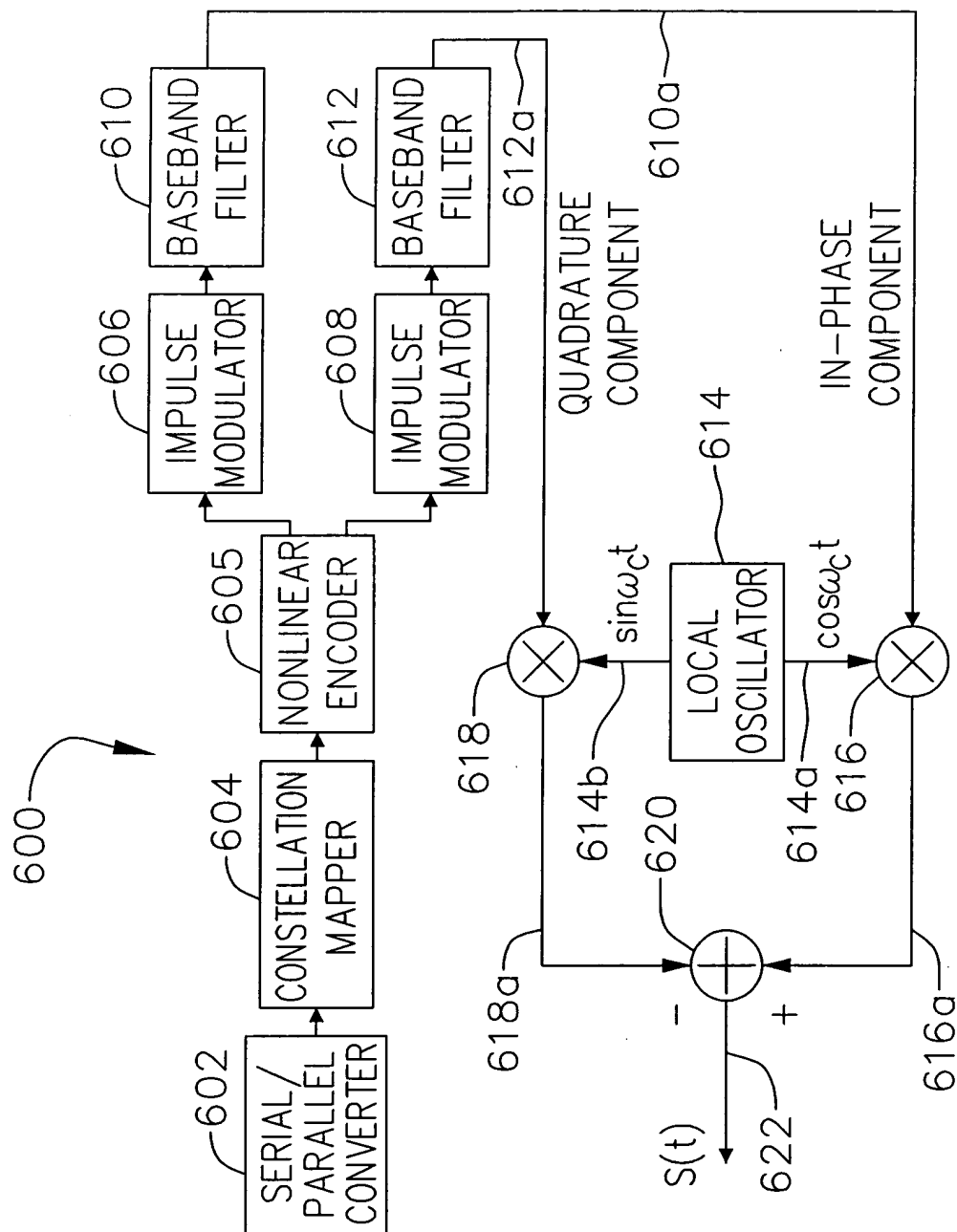


FIG. 28



634— $s(t)$

FIG. 30

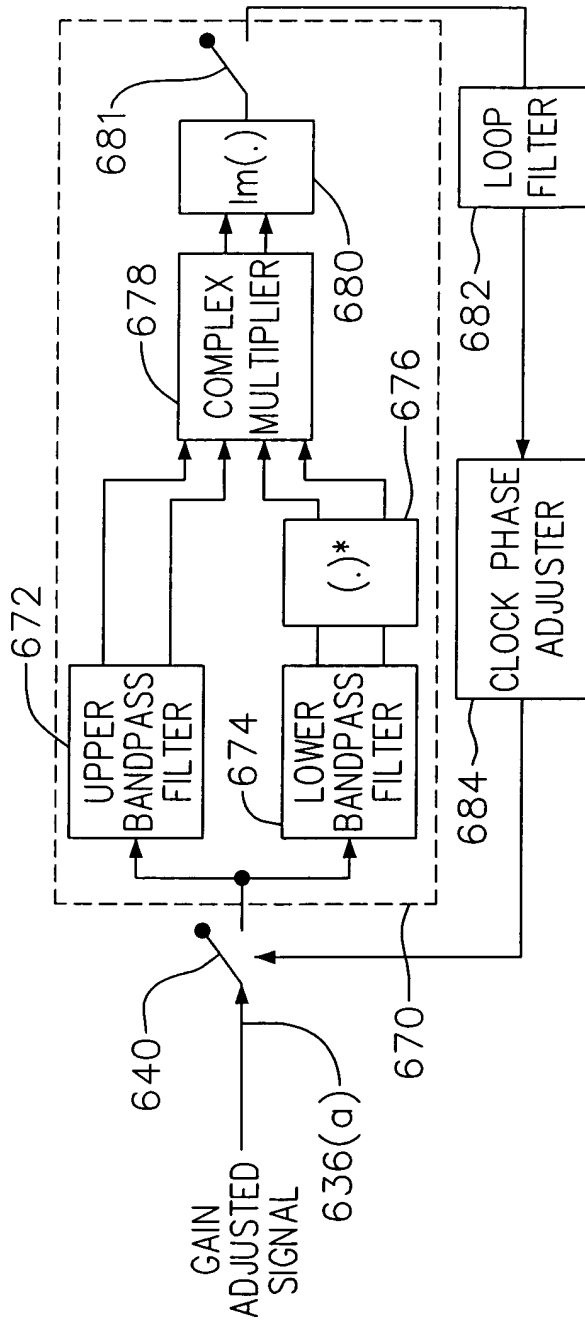
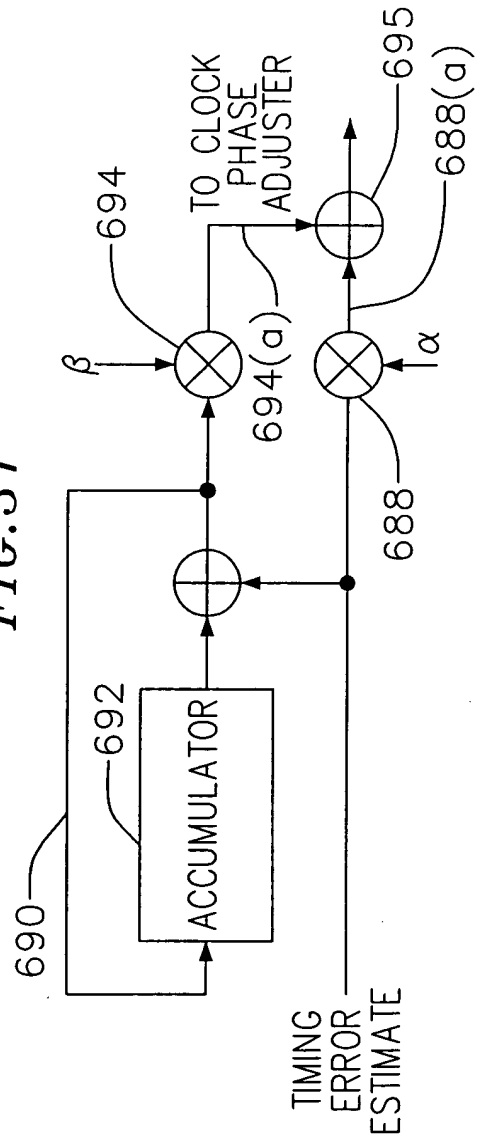


FIG. 31





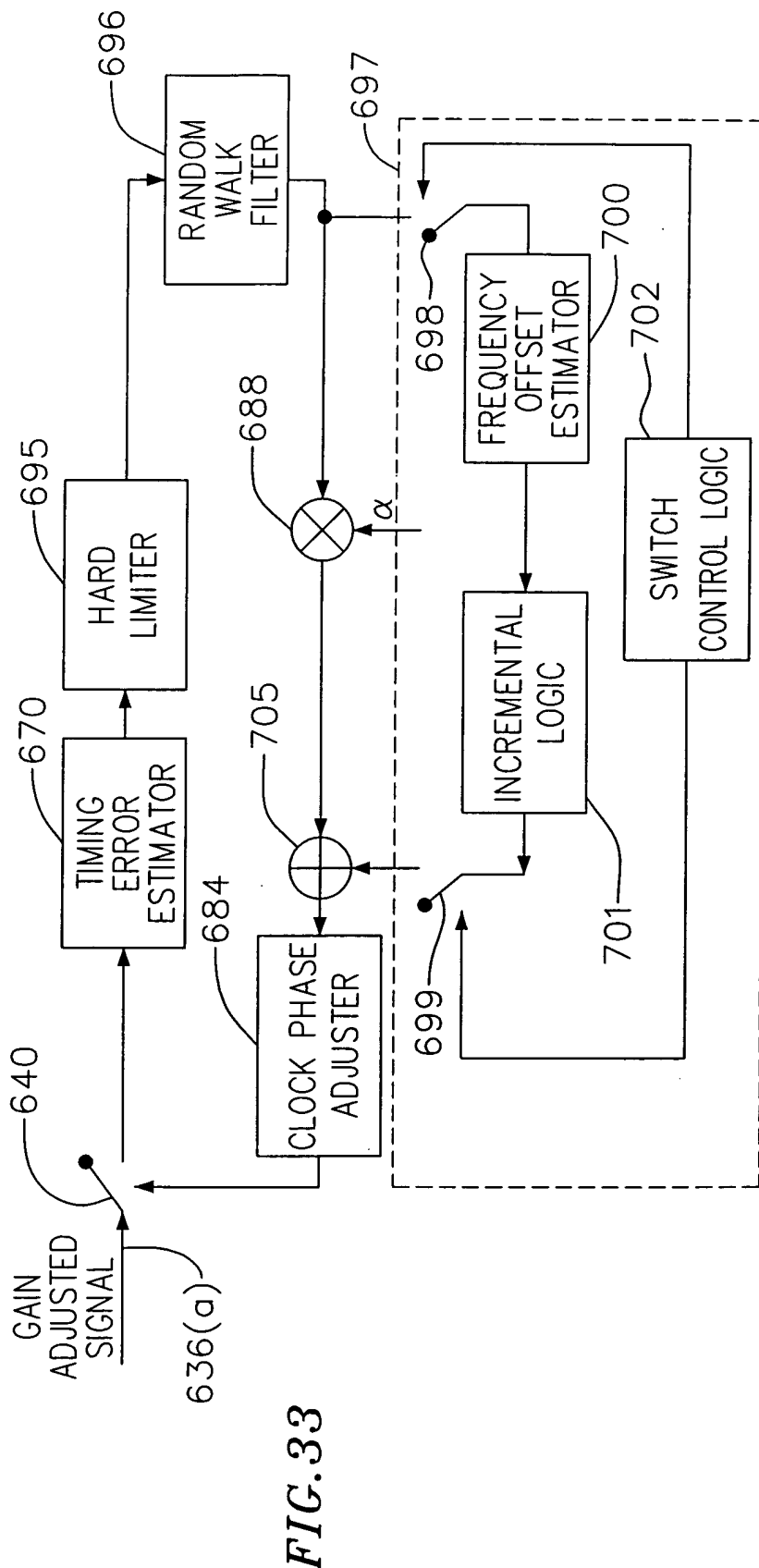
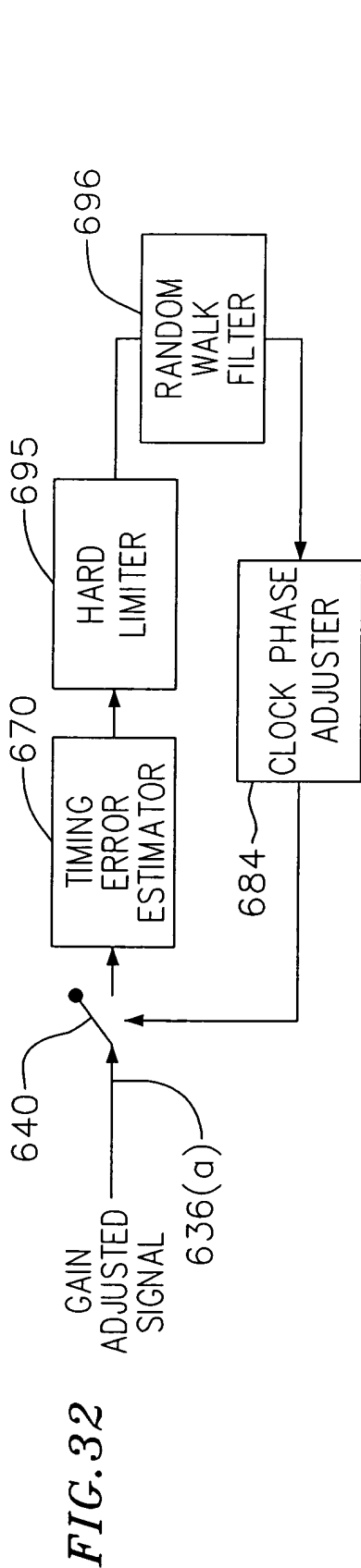
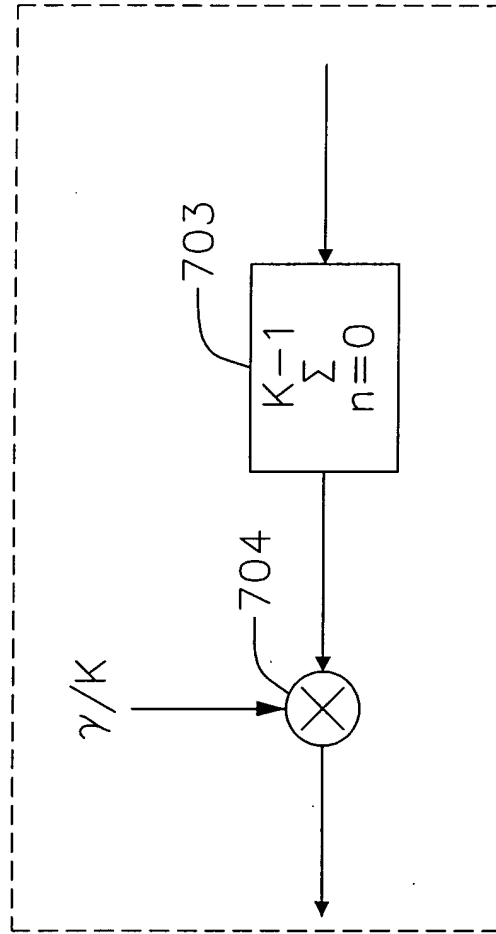


FIG. 34

700



TIMING FREQUENCY  
OFFSET ESTIMATE

FIG. 35

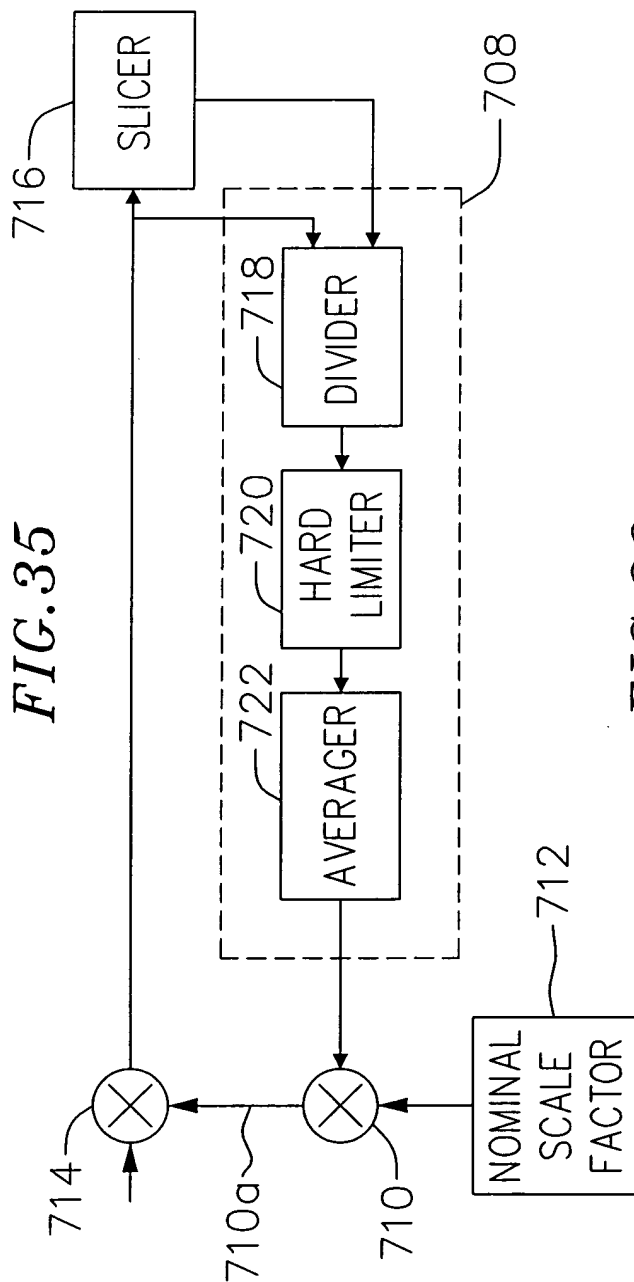


FIG. 36

